

東京電機大学 学生会員 黒林 功
 東京電機大学 フェロー会員 松井邦人
 東京電機大学 西山大三

1. はじめに

舗装構造の逆解析は、これまで各センサー間のたわみには相関がないと仮定して行われてきた。¹⁾しかし、FWD試験の実測データの相関性を調べたところ各センサー間同士に顕著な相関があることが明らかになった。そこで本研究ではデータ間に相関があるときの逆解析手法を証明し、実測データに基づく相関のない疑似データと相関のある疑似データを用いて逆解析を行い結果にどうに影響しているか検討した。

本研究で用いた実測データは、平成3年度に行われた第1回FWD共通試験データの609工区の50回計測データである。(図-1参照)

2. 最小二乗法の前提²⁾

1) 測定値の誤差

$$\varepsilon_i = y_i - y_i^0 \quad (i=1 \sim n) \quad (1)$$

には、偏りが無い。すなわち、

$$\langle \varepsilon_i \rangle = 0 \quad (i=1 \sim n) \quad (2)$$

である。

2) 測定値の誤差の分散は既知である。

$$\langle \varepsilon_i^2 \rangle = \sigma_i^2 \quad (i=1 \sim n) \quad (3)$$

3) 各測定は互いに独立であり、共分散はゼロとする。

$$\langle \varepsilon_i \varepsilon_{i'} \rangle = 0 \quad (i \neq i', i=1 \sim n, i'=1 \sim n) \quad (4)$$

4) 誤差の分布形は正規分布 (Gauss 分布) である。

$$p(\varepsilon_i) = (2\pi\sigma_i^2)^{-1/2} \exp[-\varepsilon_i^2 / 2\sigma_i^2] \quad (i=1 \sim n) \quad (5)$$

5) m 個 (ただし $m < n$) のパラメータ $\{x_1, x_2, \dots, x_m\}$ を含むモデル f が知られていて、測定量の真の値 y_i^0 を近似誤差なく再現することのできるパラメータの組 $x^0 = \{x_1^0, x_2^0, \dots, x_m^0\}$ が存在する。

$$y_i^0 = f(q_i^{(1)}, \dots, q_i^{(l)}; x_1^0, x_2^0, \dots, x_m^0) \equiv f_i(x^0) \quad (i=1 \sim n) \quad (6)$$

しかし、実測データの相関を調べてみると何らかの相関があり³⁾にあてはまらないことがわかる。実測デ

ータの重相関を表-1に示す。

表-1 実測データの重相関

	D0	D20	D45	D60	D90	D150
D0	1					
D20	0.920961	1				
D45	0.862281	0.851097	1			
D60	0.67205	0.677677	0.684674	1		
D90	0.378477	0.294524	0.346285	0.369201	1	
D150	0.092858	0.072727	0.26447	0.156786	0.327218	1

3. データ間に相関があるときの逆解析

各層の弾性係数を $\mathbf{E}=\{E_j\}, (j=1, \dots, m)$ 、解析たわみを $\mathbf{z}(\mathbf{E})=\{z_i(\mathbf{E})\}, (i=1, \dots, n)$ 、それと対応する測定たわみを $\mathbf{u}=\{u_i\}, (i=1, \dots, n)$ 、とする。ここに、 m, n はそれぞれ層数、測点数である。 \mathbf{C} は $n \times n$ の測定たわみの共分散マトリックスである。評価関数は式(7)のようになる。

$$J = [\mathbf{u} - \mathbf{z}(\mathbf{E})]^T \mathbf{C}^{-1} [\mathbf{u} - \mathbf{z}(\mathbf{E})] \quad (7)$$

解析たわみを測定たわみに近づけるための微小変化量を $d\mathbf{E}$ とすると近似的に、

$$\mathbf{z}(\mathbf{E} + d\mathbf{E}) \approx \mathbf{z}(\mathbf{E}) + \mathbf{A}d\mathbf{E} \quad (8)$$

と書くことができる。ここに、 $\mathbf{A} = [\partial z_i / \partial E_j]$ は $n \times m$ のマトリックスである。式(7)の $\mathbf{z}(\mathbf{E})$ を式(8)の右辺と置き換えると、

$$J = [\mathbf{u} - \mathbf{z}(\mathbf{E}) - \mathbf{A}d\mathbf{E}]^T \mathbf{C}^{-1} [\mathbf{u} - \mathbf{z}(\mathbf{E}) - \mathbf{A}d\mathbf{E}] \quad (9)$$

となる。式(9)は $d\mathbf{E}$ を決定する最適化問題である。 J を最小にする必要条件は、

$$\frac{\partial J}{\partial d\mathbf{E}} = -\mathbf{A}^T \mathbf{C}^{-1} [\mathbf{u} - \mathbf{z}(\mathbf{E}) - \mathbf{A}d\mathbf{E}] = 0 \quad (10)$$

である。式(10)を整理すると、

$$\mathbf{A}^T \mathbf{C}^{-1} \mathbf{A}d\mathbf{E} = \mathbf{A}^T \mathbf{C}^{-1} [\mathbf{u} - \mathbf{z}(\mathbf{E})] \quad (11)$$

\mathbf{A} は $n \times m$ なので特異値分解すると式(12)のようになる。

$$\mathbf{A} = \mathbf{U} \mathbf{D} \mathbf{V}^T \quad (12)$$

\mathbf{U} は $n \times m$ の矩形マトリックスとなる。 \mathbf{D} は $m \times m$ の対角マトリックス、 \mathbf{V}^T は \mathbf{V} の $m \times m$ の転置マトリックスである。 \mathbf{U} と \mathbf{V}^T 及び \mathbf{D}^{-1} は次式のような特徴がある。

Keywords: FWD、相関、舗装、逆解析

〒350-0394 埼玉県比企郡鳩山町大字石坂 TEL 0492-96-5731 (内線 2734)

$$\mathbf{U}^T \mathbf{U} = \mathbf{V} \mathbf{V}^T = \mathbf{I} \quad (13)$$

$$\mathbf{D}^{-1} = \left[\text{diag} \left(\frac{1}{w_j} \right) \right] \quad (14)$$

よって、式(11)は式(15)となる。

$$\mathbf{VDU}^T \mathbf{C}^{-1} \mathbf{UDV}^T d\mathbf{E} = \mathbf{VDU}^T \mathbf{C}^{-1} [\mathbf{u} - \mathbf{z}(\mathbf{E})] \quad (15)$$

式(15)を整理すると、微小変化量 $d\mathbf{E}$ は以下のようになる。

$$d\mathbf{E} = \mathbf{VD}^{-1} \mathbf{U}^T [\mathbf{u} - \mathbf{z}(\mathbf{E})] \quad (16)$$

4. 解析結果

相関のある疑似データと相関のない疑似データを実測データの平均値、標準偏差（表-2参照）と表-1の相関マトリックスを用いて、100組ずつのデータを発生させ、それぞれ5組ずつの平均を用いて逆解析を行った。相関のない疑似データの重相関を表-3に、逆解析結果を表-4に、またその変動係数を図-2に示す。

逆解析結果の変動係数をみると実測データと相関のある疑似データに対し、相関のない疑似データにはかなりばらつきのある結果となった。

5. まとめ

本研究で得られたことを以下にまとめる。

- ① 実測たわみデータには相関があることが明らかになった。
- ② たわみに相関があっても従来の逆解析手法が適用できる。
- ③ 測定データのばらつきが同じでも相関の有無によって、逆解析結果のばらつきに差があり、相関があると逆解析結果のばらつきが小さい。

参考文献

- 1) 松井邦人、井上武美、三瓶辰之：舗装各層の弾性係数を表面たわみから推定する一手法、土木学会論文集、第420号/V-13, pp.107-114, 1990年8月
- 2) 中川徹、小柳義夫著：最小二乗法による実験データ解析、東京大学出版会

表-2 実測データの平均値と標準偏差

	D0	D20	D45	D60	D90	D150
平均値	1032.8572	814.74883	495.24634	377.61772	243.34596	135.65742
標準偏差	14.01079	11.845181	3.1009638	2.8440337	1.719803	0.9391336

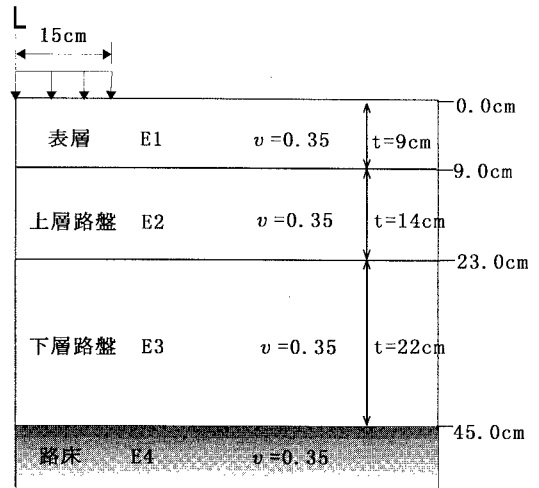


図-1 舗装構造（609工区）

表-3 相関のない疑似データの重相関

	D0	D20	D45	D60	D90	D150
D0	1					
D20	-0.02239	1				
D45	-0.13574	-0.05439	1			
D60	0.038028	0.074601	-0.00174	1		
D90	-0.01248	-0.06344	-0.13266	0.009682	1	
D150	0.102318	-0.02663	0.054527	-0.02962	-0.0766	1

表-4 逆解析結果

弾性係数	E1	E2	E3	E4
実測データ	32571.07	1640.35	560.18	646.90
相関あり	33148.88	1680.78	571.32	658.53
相関なし	32476.85	1845.87	843.77	663.71

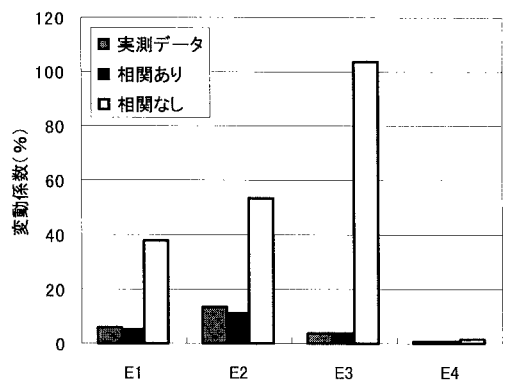


図-2 逆解析結果の変動係数